



Controle e Servomecanismo

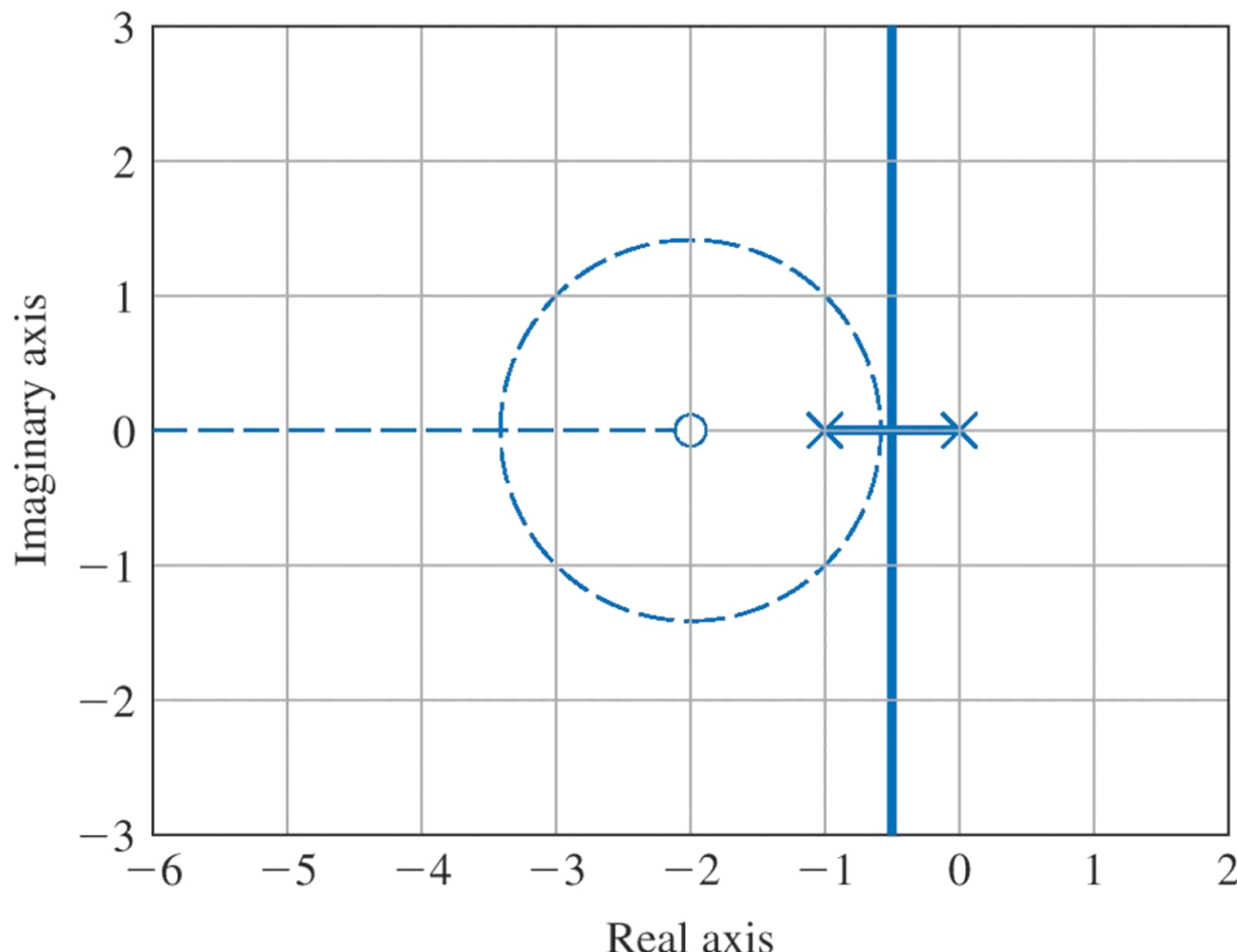
TE240

Projetos de controladores dinâmicos

Juliana L. M. Iamamura

Controlador avanço de fase

Figure 5.22 Root loci for $1 + D(s)G(s) = 0$, $G(s) = \frac{1}{s(s+1)}$ with compensation $D(s) = K$ (solid lines) and with $D(s) = K(s+2)$ (dashed lines)

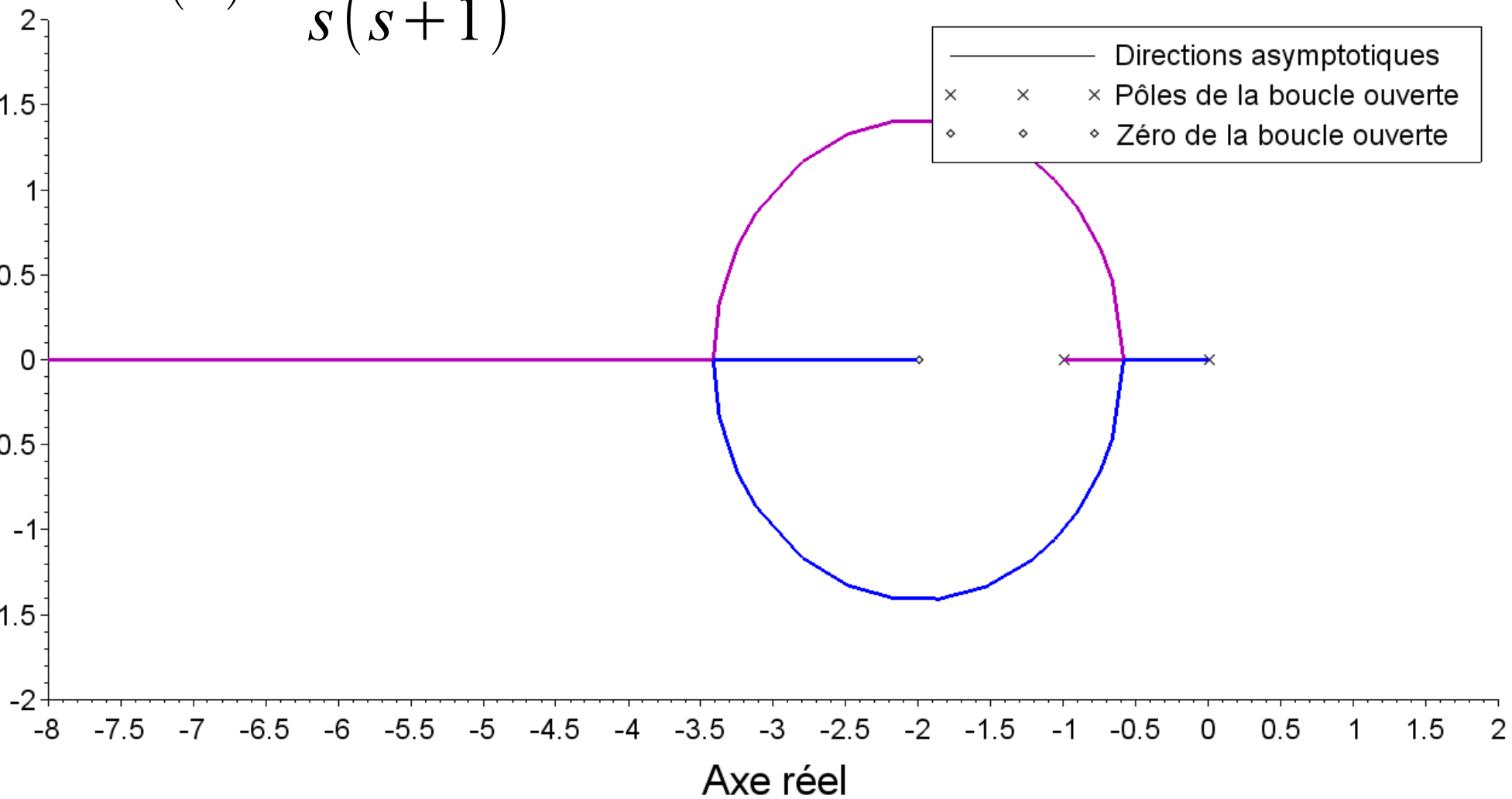


Controlador avanço de fase

$$G(s) = \frac{s+2}{s(s+1)}$$

Lieu d'Evans des racines

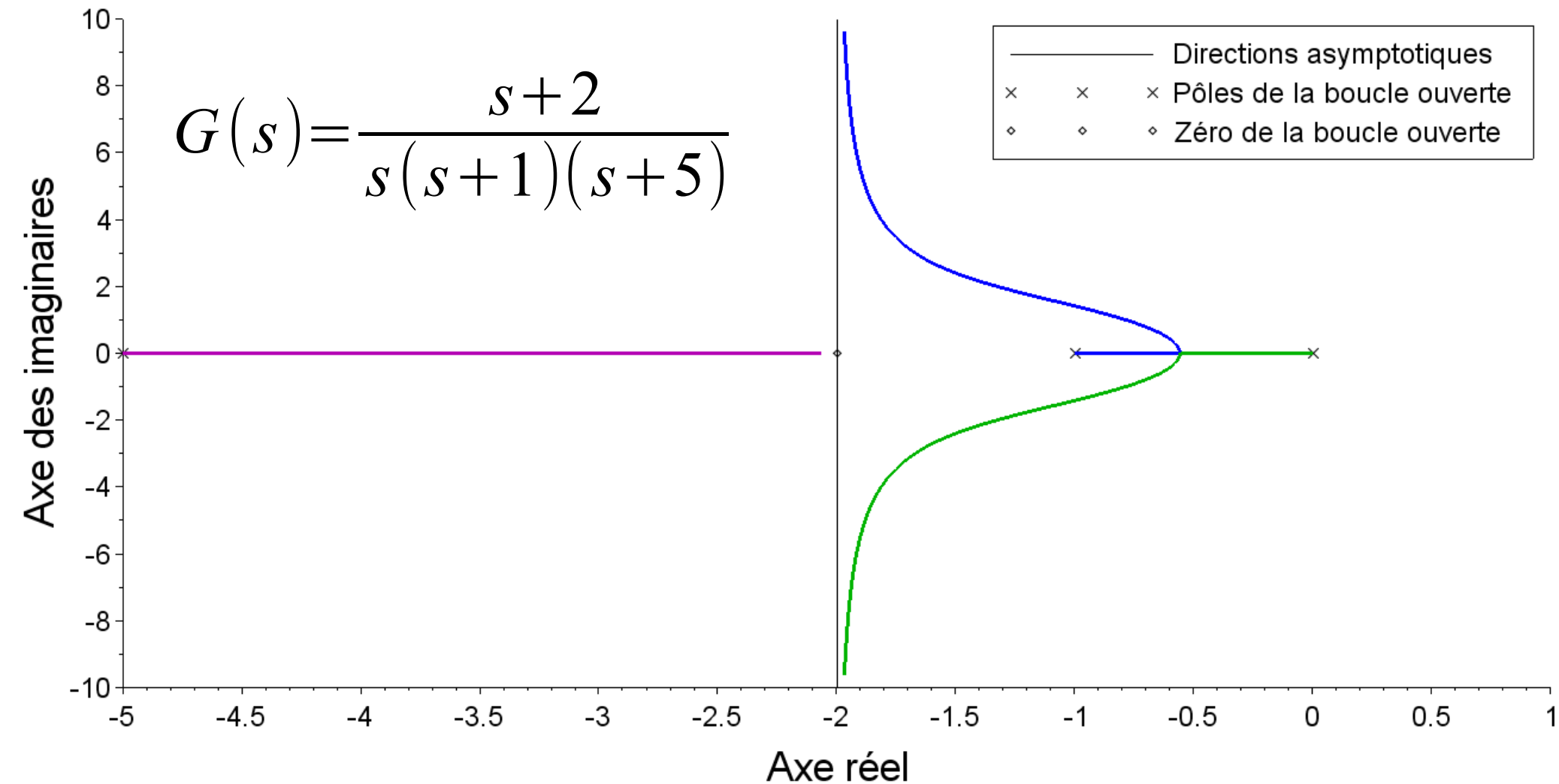
Axe des imaginaires



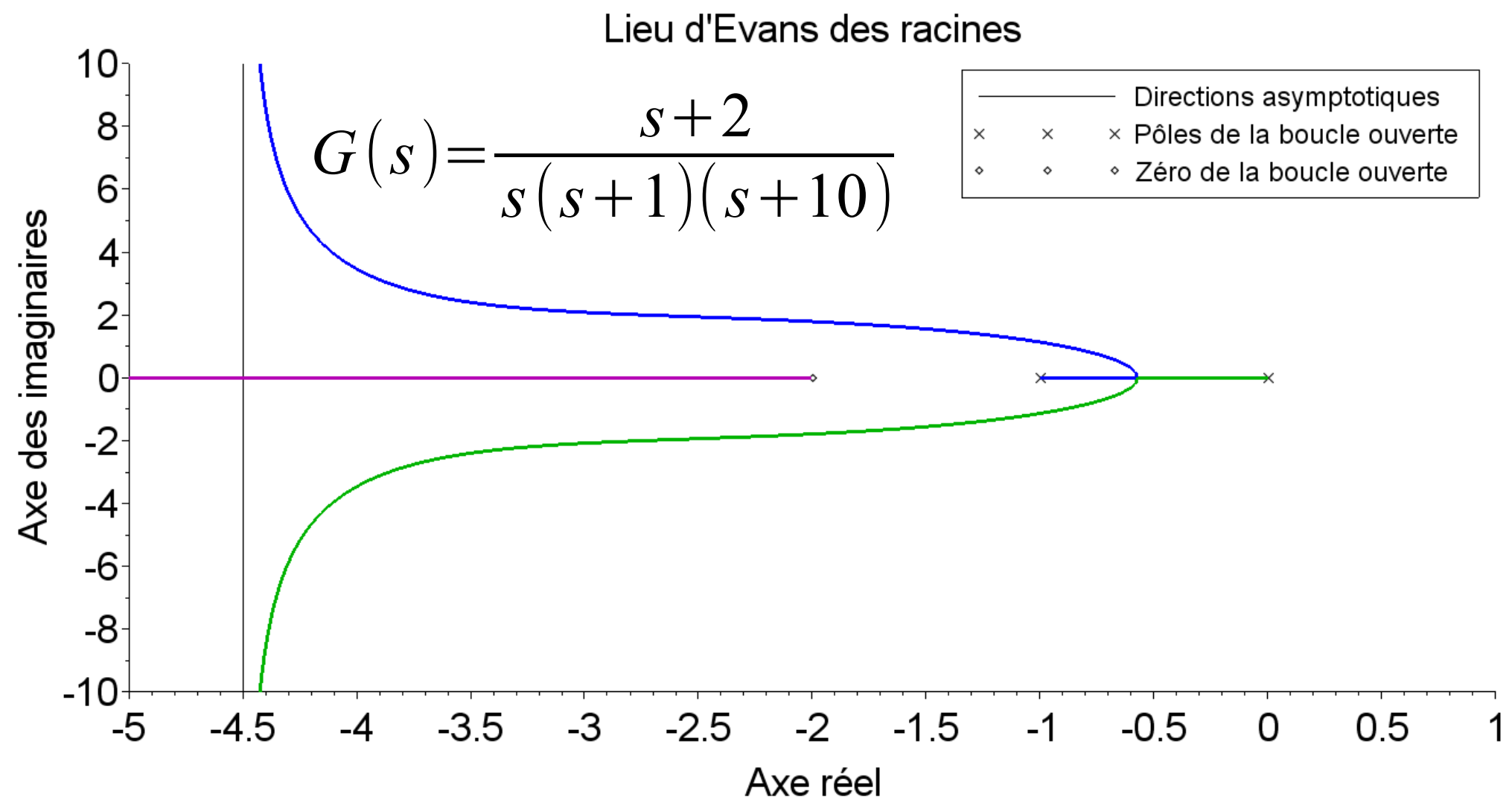
Controlador avanço de fase

$$G(s) = \frac{s+2}{s(s+1)(s+5)}$$

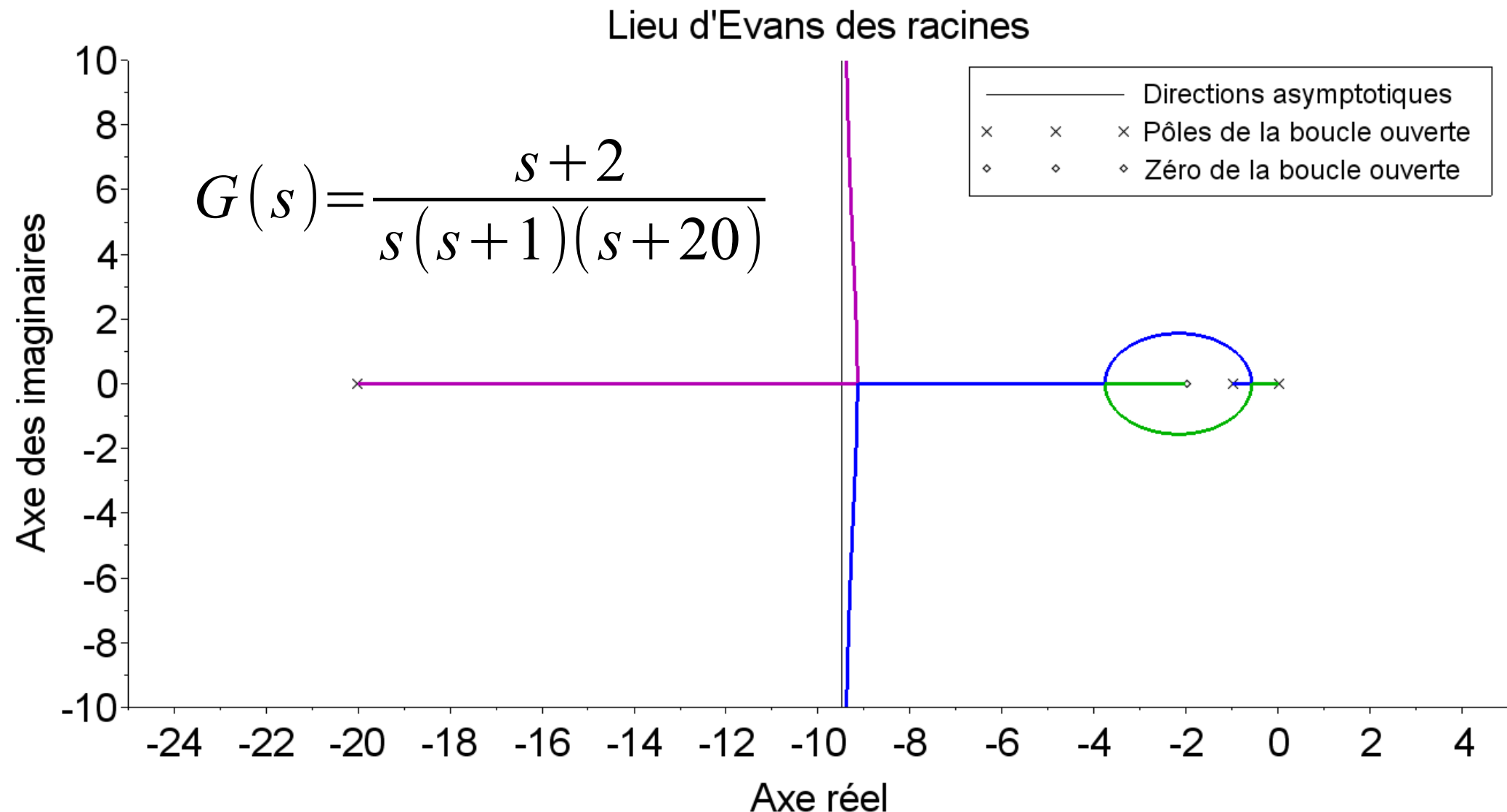
Lieu d'Evans des racines



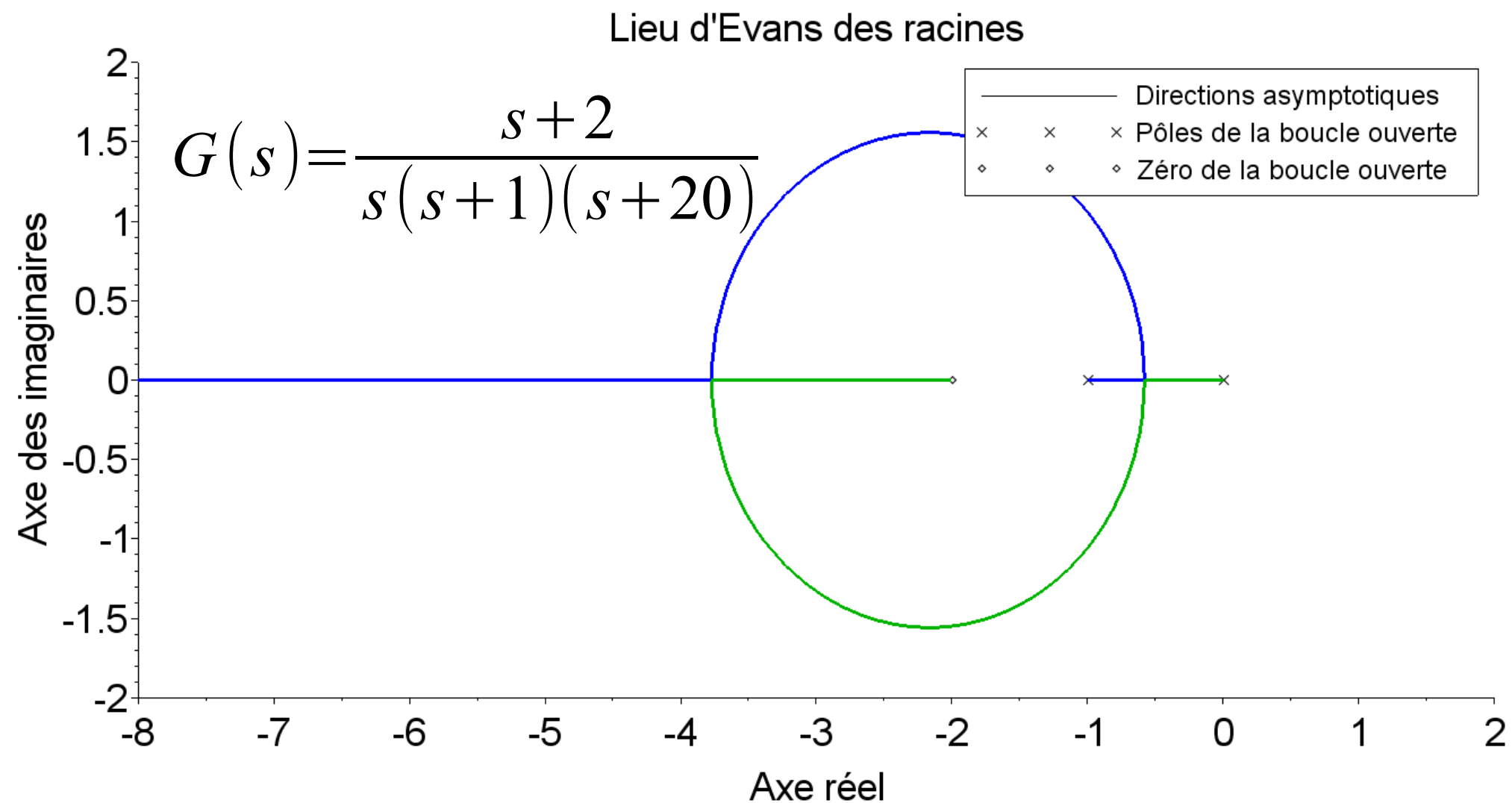
Controlador avanço de fase



Controlador avanço de fase

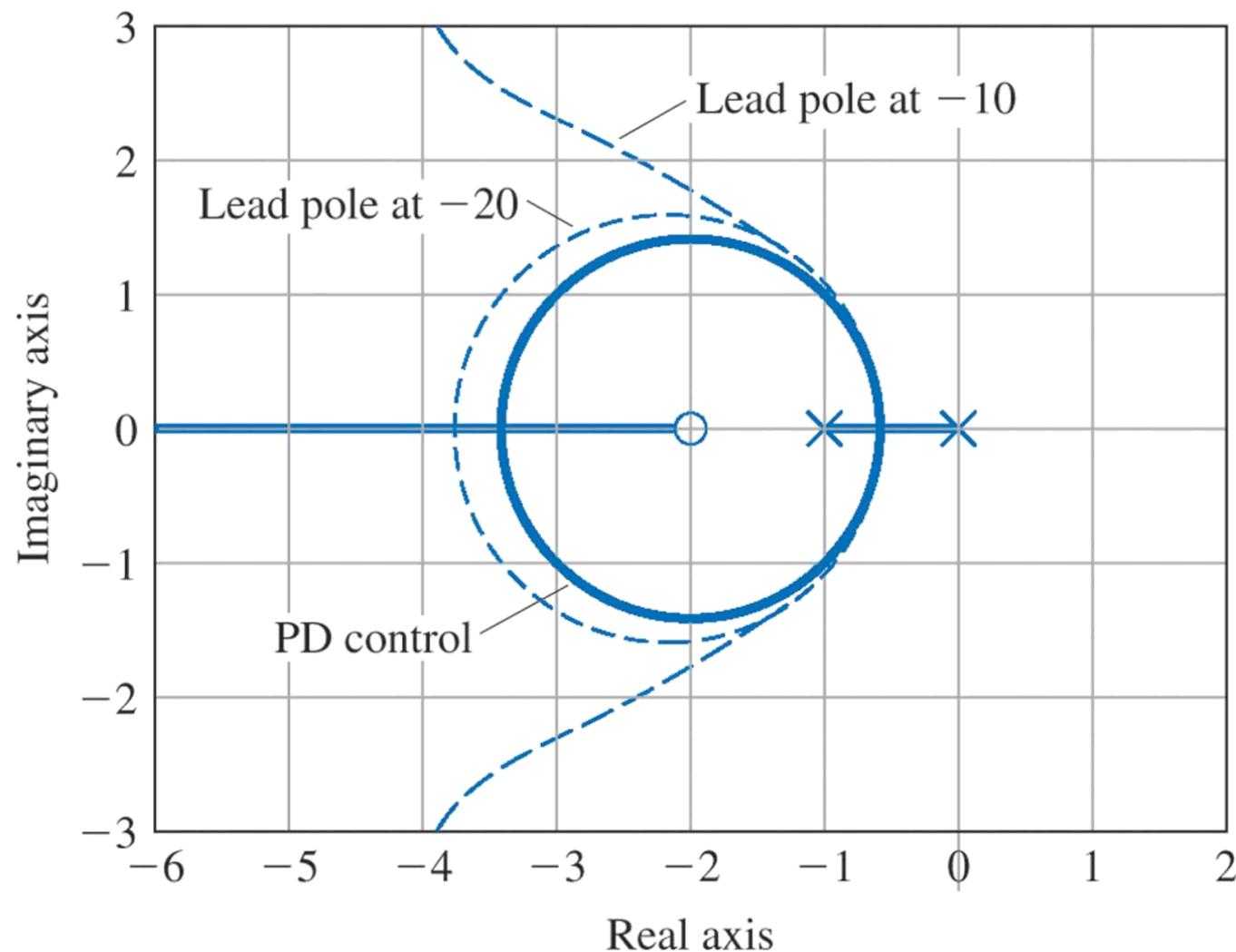


Controlador avanço de fase



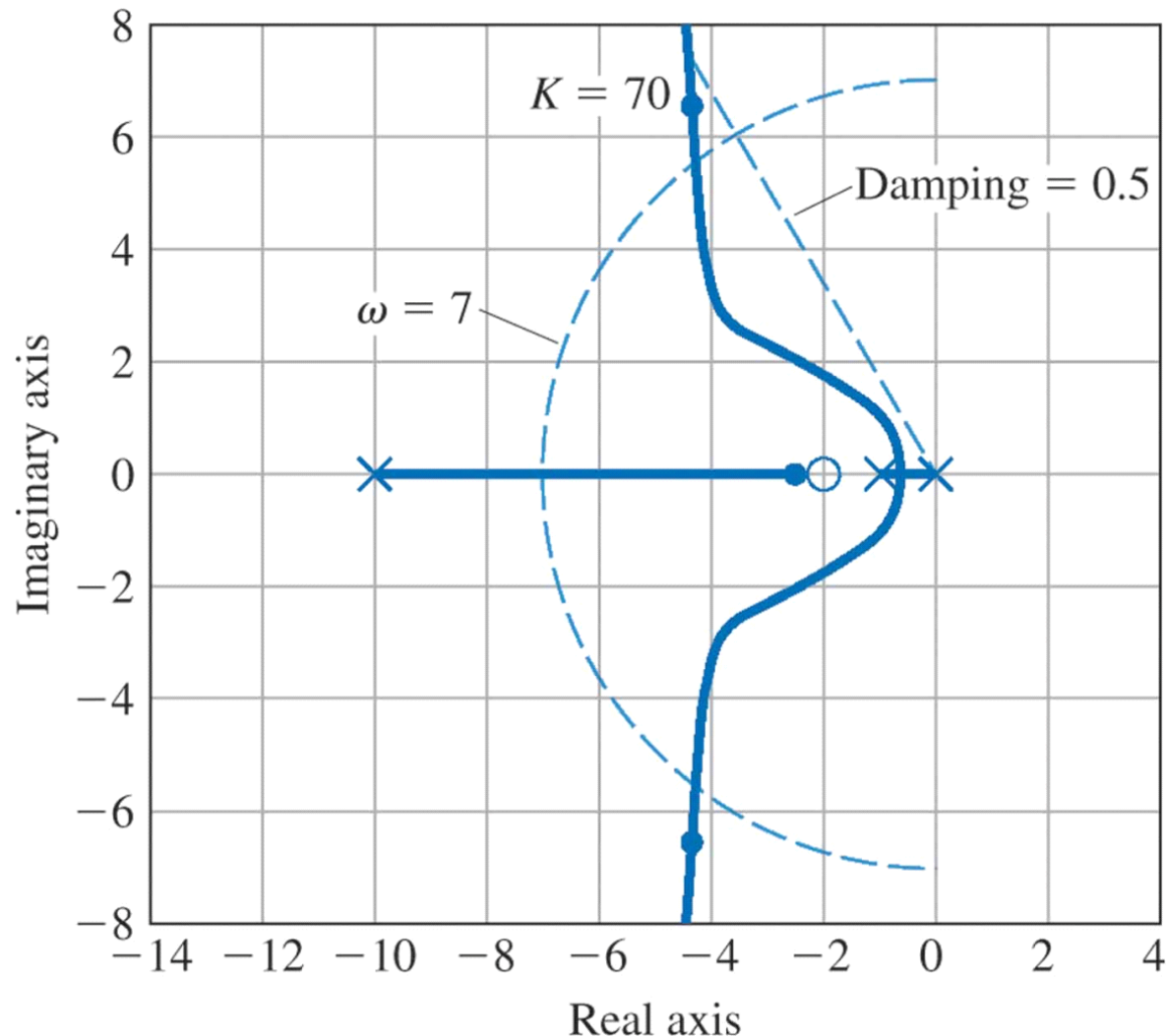
Controlador avanço de fase

Figure 5.23 Root loci for three cases with $G(s) = \frac{1}{s(s+1)}$: (a) $D(s) = \frac{(s+2)}{(s+20)}$; (b) $D(s) = \frac{(s+2)}{(s+10)}$; (c) $D(s) = s + 2$ (solid lines)



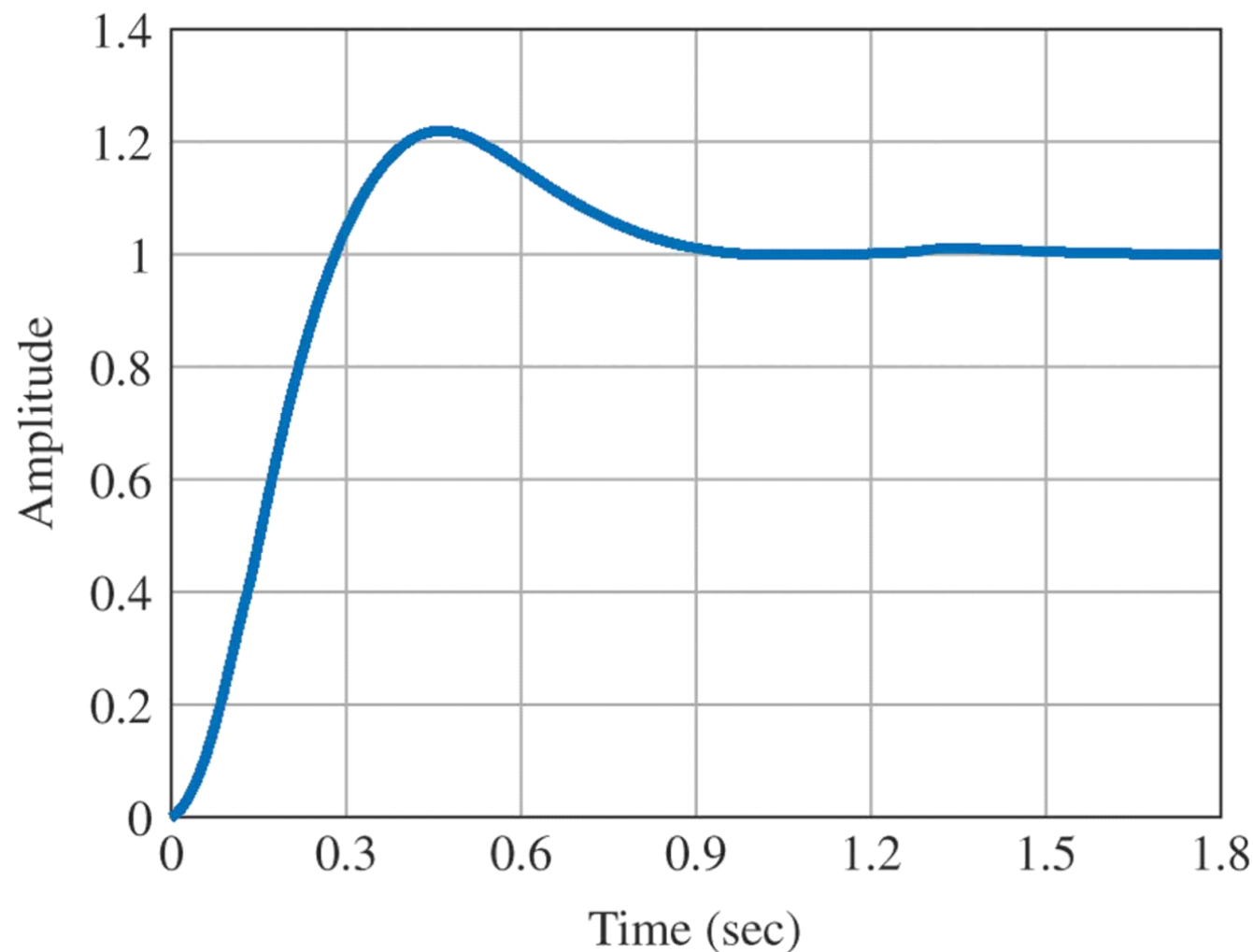
Controlador avanço de fase

Figure 5.24 Root locus for lead design



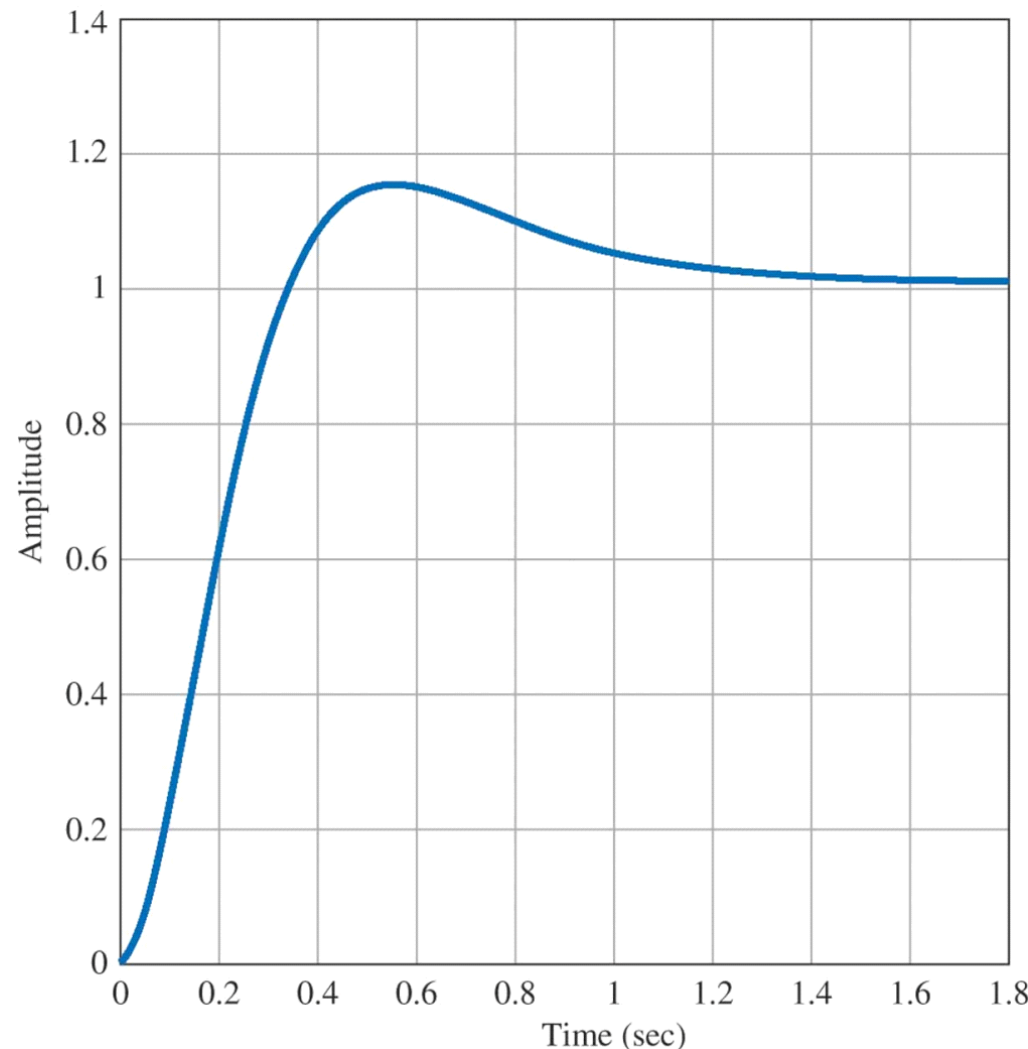
Controlador avanço de fase

Figure 5.25 Step response for Example 5.11



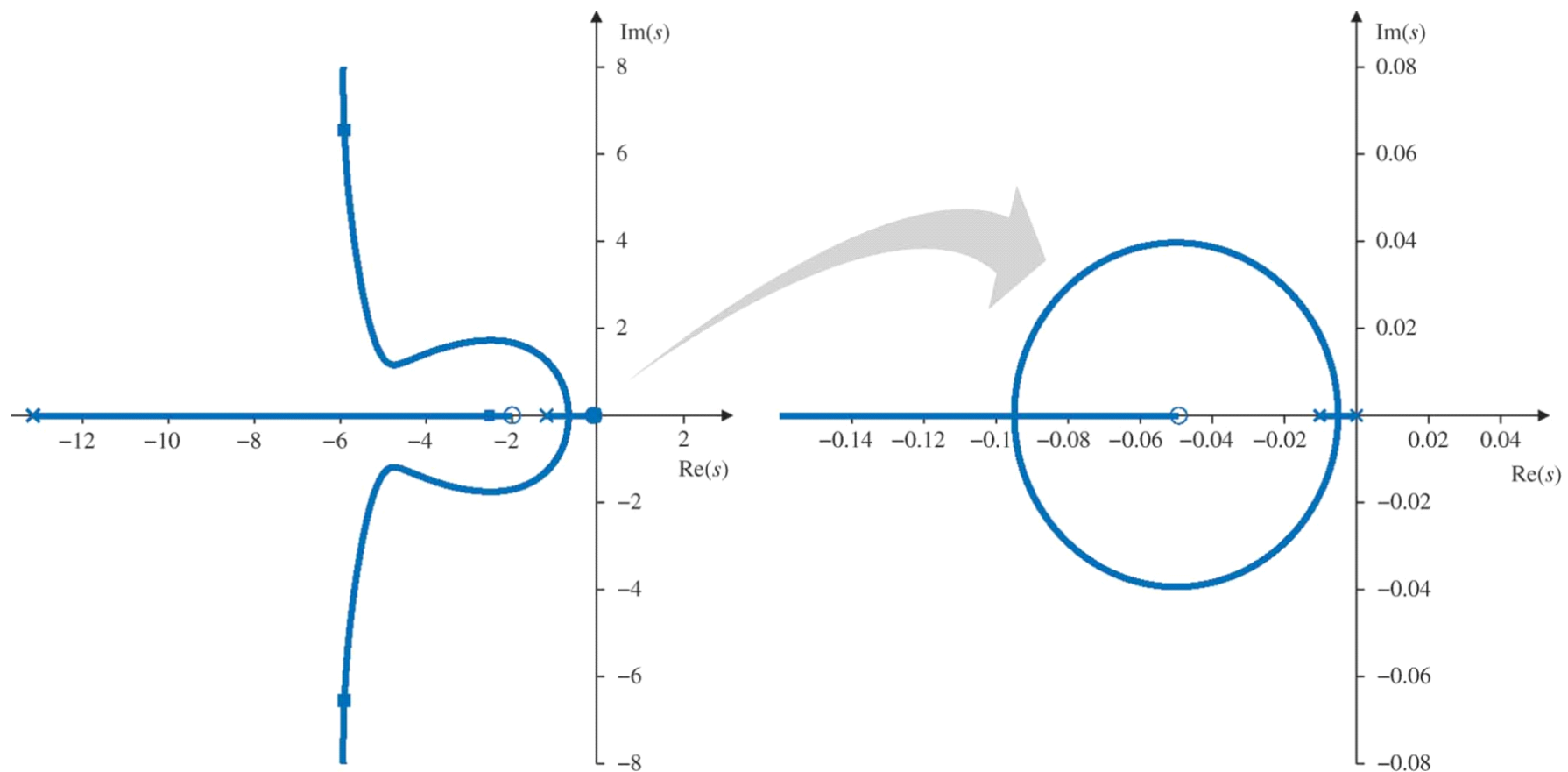
Controlador avanço de fase

Figure 5.27 Step response for $K = 91$ and $L(s) = \frac{(s+2)}{(s+13)} \frac{1}{s(s+1)}$



Controlador avanço-atraso de fase

Figure 5.28 Root locus with both lead and lag compensations



Juliana Iamamura